



TITLE:

マックスウェル方程式の有限要素近似について(MHD数値計算とその周辺)

AUTHOR(S):

名古屋, 靖一郎; 牛島, 照夫

CITATION:

名古屋, 靖一郎...[et al]. マックスウェル方程式の有限要素近似について (MHD数値計算とその周辺). 数理解析研究所講究録 1984, 532: 69-83

ISSUE DATE:

1984-07

URL:

<http://hdl.handle.net/2433/98599>

RIGHT:

マックスウェル方程式の有限要素近似について

電気通信大学* 名古屋靖一郎 (Seichiro Nagoya)

電気通信大学 牛島照夫 (Teruo Ushijima)

はじめに

第1章においては, マックスウェル方程式に有限要素法を適用し近似的に解くスキームを提示し, その安定性や収束性について Trotter-Kato-Ushijima の半群の近似理論を用いて考察する。第2章では, 次元をおとした方程式についての数値計算結果を示し, 第1章で述べた結果の確認をする。

第1章 近似スキームの安定性と収束性

§1 準備

\mathbb{R}^3 中の リプシッツ領域 Ω をとり, 3次元ベクトル値関数として与えられる $E = E(t, x)$, $H = H(t, x)$ ($(t, x) \in [0, \infty) \times \Omega$) について, 次の方程式を考える。

$$(1.1) \quad \begin{cases} \varepsilon \frac{\partial E}{\partial t} = \text{rot} H - \sigma E \\ \mu \frac{\partial H}{\partial t} = -\text{rot} E \end{cases} \quad (\varepsilon, \mu, \sigma \text{ は正定数})$$

* 昭和59年4月刊, 日本科学技術研修所

として, 境界条件として

$$(1.2) \quad \nu \wedge E = 0 \quad \text{on } [0, \infty) \times \Gamma \quad (\Gamma = \partial\Omega)$$

をみたし (ν は Ω の外向き単位法線ベクトルで, 「 \wedge 」は外積), 初期条件

$$(1.3) \quad \begin{cases} E(0, x) = E_0(x) \\ H(0, x) = H_0(x) \end{cases}, \quad x \in \Omega$$

を与えて, $(0, \infty) \times \Omega$ 上で (1.1) をみたす E, H を求めるという問題を考える。

注.

有界領域 $\Omega \subset \mathbb{R}^N$ がリプシッツ領域とは, (局所地図を (x_1, \dots, x_N) , または簡単に (x_r, x_N) ($r=1, 2, \dots, M$) として) ある正数 α, β があって, 以下の2条件 i), ii) をみたすときをいう。

i) 境界 Γ の各点 x が, 立方体 $\Delta_r = \{x_r' = (x_1, \dots, x_{rN-1}) :$

$|x_{ri}| < \alpha, i=1, 2, \dots, N-1\}$ 上で定義されたりリプシッツ連

続関数 a_r によって, $x = (x_r', a_r(x_r'))$ とかけられる。

ii) $\{(x_r', x_{rN}) : a_r(x_r') < x_{rN} < a_r(x_r') + \beta, x_r' \in \Delta_r\} \subset \Omega$,

$\{(x_r', x_{rN}) : a_r(x_r') - \beta < x_{rN} < a_r(x_r'), x_r' \in \Delta_r\} \subset \overline{\Omega}^c$ 。

記法.

$u = (u_i)_{1 \leq i \leq 3}, v = (v_i)_{1 \leq i \leq 3} \in \{L^2(\Omega)\}^3$ に対して,

$$(u, v)_0 = \int_{\Omega} \sum_{i=1}^3 u_i(x) v_i(x) dx, \quad \|u\|_0 = (u, u)_0^{\frac{1}{2}}$$

• $\mathcal{X} = \begin{matrix} \{L^2(\Omega)\}^3 \\ \times \\ \{L^2(\Omega)\}^3 \end{matrix}$ の内積, ノルムを, $U = \begin{pmatrix} u_1 \\ u_2 \end{pmatrix}, V = \begin{pmatrix} v_1 \\ v_2 \end{pmatrix} \in \mathcal{X}$ とし,

$$(U, V) = (\varepsilon u_1, v_1)_0 + (\mu u_2, v_2)_0, \quad \|U\| = (U, U)^{\frac{1}{2}}$$

とかく。

• $H(\text{rot}; \Omega) = \{u \in \{L^2(\Omega)\}^3 : \text{rot } u \in \{L^2(\Omega)\}^3\}$.

$H_0(\text{rot}; \Omega) = \{D(\Omega)\}^3$ のグラフノルム $\|\cdot\|_0 + \|\text{rot} \cdot\|_0$ に
関する閉包。

補題 1.

$$\{D(\Omega)\}^3 \stackrel{\text{dense}}{\subseteq} H(\text{rot}; \Omega) .$$

これにより, $u \in H(\text{rot}; \Omega)$ について, $\forall \lambda u$ が $\{H^{-1/2}(\Gamma)\}^3$ の
意味で定義できて,

$$\begin{aligned} H_0(\text{rot}; \Omega) &= \{u \in H(\text{rot}; \Omega) : \forall w \in H(\text{rot}; \Omega), (\text{rot } u, w)_0 \\ &= (u, \text{rot } w)_0 \} \end{aligned}$$

$$= \{u \in H(\text{rot}; \Omega) : \forall \lambda u = 0\} .$$

(cf. [2], [3]. また境界が十分滑らかな時は [1] を参照)

作用素 A .

$A : \mathcal{X} \rightarrow \mathcal{X}$ を次のように定義する。

$$V = H_0(\text{rot}; \Omega), \quad W = H(\text{rot}; \Omega)$$

において,

$$D(A) = \begin{matrix} V \\ \times \\ W \end{matrix}, \quad A = \begin{pmatrix} 0 & \frac{1}{\varepsilon} \text{rot} \\ -\frac{1}{\mu} \text{rot} & 0 \end{pmatrix}$$

命題 2.

$$\overline{D(A)} = \mathcal{X}, A \text{ は閉. } A^* = -A, D(A^*) = D(A)$$

として, $\forall F \in \mathcal{X}, \forall \lambda > 0$ に対して, 方程式

$$(\lambda - A)U = F$$

の解 $U \in D(A)$ が一意に存在し,

$$\|U\| \leq \lambda^{-1} \|F\|$$

をみたす。以上により, A はユニタリ半群の生成作用素となる。(この半群を $T(t)$ とかくことにする。)

(cf. [1], 定理 10.1)

作用素 B

$B \in L(\mathcal{X})$ を次のように定義する。

$$B = \begin{pmatrix} -\frac{\sigma}{\varepsilon} & 0 \\ 0 & 0 \end{pmatrix}.$$

命題 3.

作用素 $C = A + B$ ($D(C) = D(A)$) は半群 $S(t)$ の生成作用素になり, その半群 $S(t)$ は次式をみたす。

$$\|S(t)\| \leq e^{\|B\|t}, t \geq 0.$$

(cf. [4], 定理 2.1)

§ 2. 近似法.

Ω は多面体領域とする (したがって, リプシッツ領域). regularかつ inverse assumption をみたす四面

体分割 \mathcal{J}_h をとる。そして,

$$W_h = \{w_h \in C(\bar{\Omega}) : w_h|_T \in P_1, T \in \mathcal{J}_h\}$$

$$V_h = \{v_h \in W_h : v_h|_F = 0\}$$

(P_1 : 1次以下の多項式全体の集合)

とおき,

$$W_h = \{W_h\}^3, \quad V_h = \{V_h\}^3$$

とする。問題 (1.1) - (1.3) の弱形式

$$(\Pi_0) \left\{ \begin{array}{l} \text{find } u(t) \in V, w(t) \in W \text{ such that} \\ \varepsilon \frac{d}{dt} (u(t), \varphi)_0 - (\operatorname{rot} w(t), \varphi)_0 + (\sigma u(t), \varphi)_0 = 0, \forall \varphi \in V, \\ \mu \frac{d}{dt} (w(t), \psi)_0 + (\operatorname{rot} u(t), \psi)_0 = 0, \forall \psi \in W, t > 0, \\ u(0) = u^0 \in V, w(0) = w^0 \in W. \end{array} \right.$$

に対して、次のような近似スキームをとる。

$$(\Pi_{h,\tau}) \left\{ \begin{array}{l} \text{find } u_h(t) \in V_h, w_h(t) \in W_h \text{ (step function)} \\ (\varepsilon (D_\tau u_h)(t), \varphi_h)_0 - (\operatorname{rot} w_h(t+\tau), \varphi_h)_0 + (\sigma u_h(t), \varphi_h)_0 = 0, \\ \quad \forall \varphi_h \in V_h, \\ (\mu (D_\tau w_h)(t), \psi_h)_0 + (\operatorname{rot} u_h(t), \psi_h)_0 = 0, \forall \psi_h \in W_h, \\ \quad t \in [n\tau, (n+1)\tau), n=0,1,2,\dots, \\ u_h(t) = u_h^0 \in V_h, w_h(t) = w_h^0 \in W_h, t \in [0, \tau). \end{array} \right.$$

ここで, $(D_\tau u)(t) = \frac{u(t+\tau) - u(t)}{\tau}$ である。

有限次元空間 V_h, W_h に内積 $(\cdot, \cdot)_0$ をいれてヒルベルト空間を X_h, Y_h で表す。リースの定理から決まる作用

素 R_h を次のようにとる。

$$(\operatorname{rot} u_h, w_h)_0 = (R_h u_h, w_h)_0, \quad u_h \in X_h, w_h \in Y_h.$$

すると境界条件のいれ方から

$$(\operatorname{rot} u_h, w_h)_0 = (u_h, \operatorname{rot} w_h)_0$$

をみたす。これを、

$$(R_h u_h, w_h)_0 = (u_h, R_h^* w_h)_0$$

に対応させると、 $(\Pi_{h,\tau})$ はヒルベルト空間 X_h, Y_h の元の意味で、

$$(E_{h,\tau}) \begin{cases} \varepsilon (D_\tau u_h)(t) - R_h^* w_h(t+\tau) + \sigma u_h(t) = 0, \\ \mu (D_\tau w_h)(t) + R_h u_h(t) = 0, \quad t \in [n\tau, (n+1)\tau), \\ u_h(t) = u_h^0 \in X_h, w_h(t) = w_h^0 \in Y_h, \quad t \in [0, \tau). \end{cases}$$

とかける。ここで、簡単のため、

$$\begin{cases} u_h(t) = u_n & (t \in [n\tau, (n+1)\tau), \\ w_h(t) = w_n & n=0, 1, 2, \dots \end{cases}$$

とかくと、 $(E_{h,\tau})$ は

$$(E_{h,\tau}) \begin{cases} \varepsilon \frac{u_n - u_m}{\tau} - R_h^* w_n + \sigma u_m = 0, \\ \mu \frac{w_n - w_m}{\tau} + R_h u_m = 0, \\ u_0 = u_h^0 \in X_h, w_0 = w_h^0 \in Y_h. \end{cases} \quad \begin{pmatrix} n=m+1 \\ m=0, 1, 2, \dots \end{pmatrix}$$

となる。

また $X_h \times Y_h$ に内積 (\cdot, \cdot) を入れたヒルベルト空間を \mathcal{X}_h とし、 R_h を \mathcal{X} から \mathcal{X}_h の上への直交射影作用素とする。

注.

この近似法では, V_h は境界上ではすべて零となるものの全体の集合となり, 境界上での値が全く計算できない。この問題は次のように改善できる。

$$\left\{ \begin{array}{l} b_1, b_2, \dots, b_N : \text{内部節点,} \\ b_{N+1}, b_{N+2}, \dots, b_{N+M_1} : \text{境界面の内部にある節点,} \\ b_{N+M_1+1}, b_{N+M_1+2}, \dots, b_{N+M} : \text{ある稜にある節点.} \end{array} \right.$$

とおき,

$$\begin{aligned} V_h' &= \{ v_h \in V_h : v_h \wedge \nu = 0 \text{ on } \Gamma \} \\ &= \left\{ v_h = \sum_{j=1}^N V_j w_j + \sum_{j=N+1}^{N+M_1} N_j m_j w_j : V_j \in \mathbb{R}^3, \right. \\ &\quad \left. N_j \in \mathbb{R}, m_j = b_j \text{ を含む境界面に立てる法線} \right\} \end{aligned}$$

とする。 V_h を V_h' に代えても以下の議論は成立する。

§3. 安定性.

$$(E'_{h,\tau}) \begin{cases} \varepsilon \frac{u_n - u_m}{\tau} - R_h^* w_n = 0, \\ \mu \frac{w_n - w_m}{\tau} + R_h u_m = 0, \quad u_0 = u_h^0, w_0 = w_h^0. \end{cases}$$

というスキームについては次の定理が成立する。

定理 4.

$$(1.4) \quad |(R_h u_h, w_h)_0| \leq 2\alpha (\sqrt{\varepsilon} \|u_h\|_0) (\sqrt{\mu} \|w_h\|_0), \quad u_h \in X_h, w_h \in Y_h$$

を満たす正数 α があるとする。そのとき,

$$(1.5) \quad 1 - \alpha\tau > 0$$

を満たす十分小さき τ に対する $(E'_{h,\tau})$ の $u_n, w_n (n=0,1,\dots)$

は,

$$\|U_n\| \leq C \|U_0\|, \quad U_n = \begin{pmatrix} u_n \\ w_n \end{pmatrix}$$

をみたす。ここで, $C = \sqrt{\frac{1+a\tau}{1-a\tau}}$ である。

注.

rot は 1 階の微分作用素だから, "inverse assumption" により, $a = \frac{C'}{h}$ (C' は h に依存しない定数) が得られ, 定理 4 の安定条件 (1.5) は,

$$(1.6) \quad \tau < C'' h$$

の形になる。

$(E_{h,\tau})$ は,

$$\begin{cases} \frac{u_n - u_m}{\tau} = \frac{1}{\varepsilon} R_h^* w_m - \frac{\tau}{\varepsilon \mu} R_h^* R_h u_m, \\ \frac{w_n - w_m}{\tau} = -\frac{1}{\mu} R_h u_m. \end{cases}$$

とかける。そこで,

$$A_\tau = \begin{pmatrix} -\frac{\tau}{\varepsilon \mu} R_h^* R_h & \frac{1}{\varepsilon} R_h^* \\ -\frac{1}{\mu} R_h & 0 \end{pmatrix} \in L(\mathcal{X}_h)$$

を生成作用素とする離散半群 (cf. [5]) を $T_\tau(t)$ とおく。

すると, 定理 4 から,

$$(4.7) \quad \exists M > 0, \quad \|T_\tau(t)\| \leq M, \quad t \geq 0$$

が得られる。 $(E_{h,\tau})$ は,

$$\begin{cases} \frac{u_n - u_m}{\tau} = \frac{1}{\varepsilon} R_h^* w_m - \frac{\tau}{\varepsilon \mu} R_h^* R_h u_m - \frac{\sigma}{\varepsilon} u_m, \\ \frac{w_n - w_m}{\tau} = -\frac{1}{\mu} R_h u_m. \end{cases}$$

とかける。そこで,

$$\mathcal{C}_c = \mathcal{A}_c + \mathcal{B}_c, \quad \mathcal{B}_c = \begin{pmatrix} -\frac{\sigma}{\varepsilon} & 0 \\ 0 & 0 \end{pmatrix} \in L(\mathcal{X}_h).$$

を生成作用素とする離散半群 $S_c(t)$ について, (1.7) と [5] の命題 4.1 により,

$$\|S_c(t)\| \leq M e^{\omega' t}, \quad (\omega' = M \|\mathcal{B}_c\|), \quad t \geq 0.$$

が得られる。

§4. 収束性.

[5] の半群の近似理論を用いることにより, 以下の結果を得た。

定理 5.

\mathcal{A}_c を生成作用素とする離散半群 $T_c(t)$ } に対して,
 \mathcal{A} を生成作用素とする連続半群 $T(t)$ }
 $\exists C > 0$ s.t. (定数) $\left\{ \begin{array}{l} \varepsilon < C h$ をみたすように, $h \rightarrow 0$ とするとき, $0 < T < \infty$ について,
 $T_c(t) \xrightarrow{K} T(t), t \in [0, T]$ 上-様.

定理 6.

\mathcal{C}_c を生成作用素とする離散半群 $S_c(t)$ } に対して,
 \mathcal{C} を生成作用素とする連続半群 $S(t)$ }
 $\exists C > 0$ s.t. (定数) $\left\{ \begin{array}{l} \varepsilon < C h$ をみたすように, $h \rightarrow 0$ とするとき, $0 < T < \infty$ について,
 $S_c(t) \xrightarrow{K} S(t), t \in [0, T]$ 上-様.

第2章 1次元モデルの数値実験

§1. 準備

まずここで取り扱う方程式を明らかにすると,

$$(2.1) \begin{cases} \varepsilon \frac{\partial u}{\partial t} = \frac{\partial w}{\partial x} - \sigma u \\ \mu \frac{\partial w}{\partial t} = \frac{\partial u}{\partial x} \end{cases} \quad (0 < x < 1)$$

である。すなわち、波動方程式

$$\frac{\partial^2 u}{\partial x^2} - \mu \varepsilon \frac{\partial^2 u}{\partial t^2} - \mu \sigma \frac{\partial u}{\partial t} = 0$$

を考えている。このようなモデルを取り扱う正当性については、[6]を参照。

§2. 安定性の確認

$\varepsilon=1$, $\mu=1$, $\sigma=1$ とおき、初期条件として,

$$u(0, x) = \sin \pi x, \quad w(0, x) = \frac{1}{2}, \quad 0 \leq x \leq 1$$

をみたし、境界条件として

$$u(t, 0) = u(t, 1) = 0, \quad t \geq 0$$

をみたす例について、安定性の実験を行った。

h	安定	不安定
0.1	1.13	1.14
0.05	1.14	1.15
0.025	1.14	1.15

表1. 安定なときと不安定なときの $\frac{w}{h}$ の値.

第1章の安定性の証明から得られる理論的な安定条件を与える τ/h については, $1/\sqrt{3}$ となる。

図3. 収束性の確認

$$\begin{cases} \varepsilon = 100, \mu = 0.0001, \sigma = 1000 \\ u(0, x) = \sin 2\pi x, w(0, x) = \cos 2\pi x \quad (0 \leq x \leq 1) \\ u(t, 0) = u(t, 1) = 0, t \geq 0 \end{cases}$$

とした場合の厳密解と近似解の比較を行う。図1は, $h=0.025, \tau=0.0025$ した場合の u のグラフの比較で、図2は w のグラフの場合である。ほぼ形としては目でみるかぎりにおいてよく近似しているといえよう。図3は, $\tau/h=0.1$ と固定したまま, h を小さくしていった時の収束の様子を表すもので、線でかかっているのは厳密解である。ただし、グラフは $x=0.2$ と固定した場合のものである。これを見ると, h を小さくしてゆくと近似解が厳密解に近づくようすが観察される。

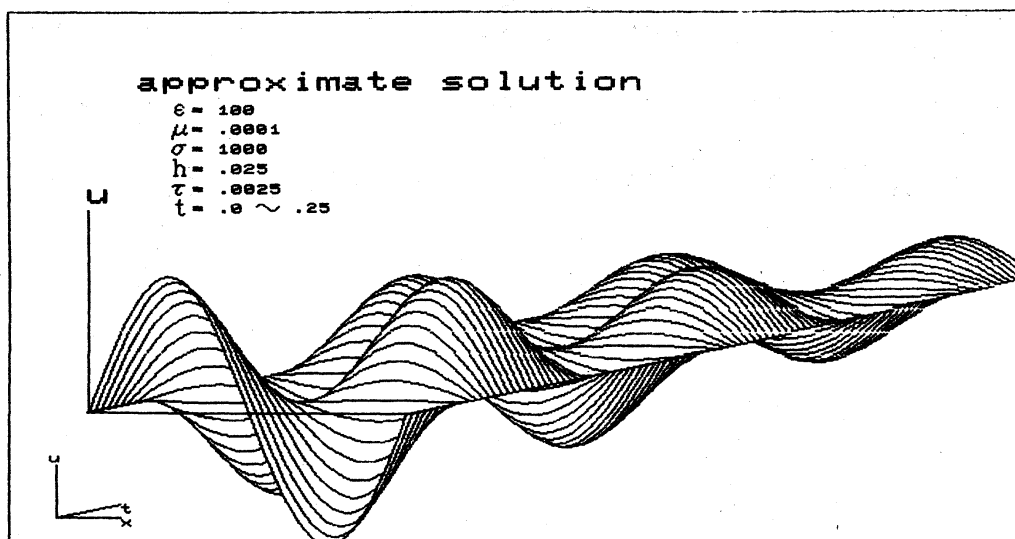
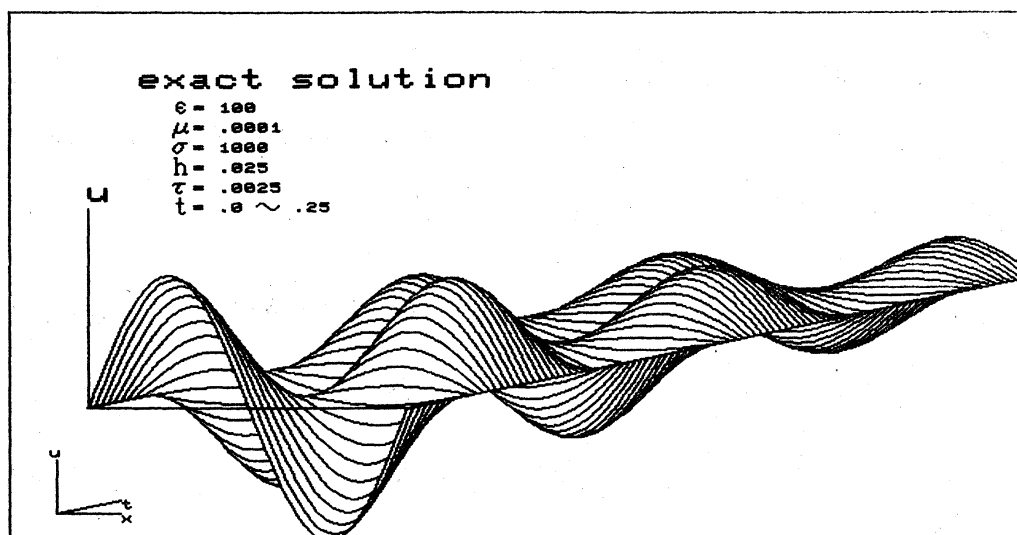


図 1. u のグラフの比較.

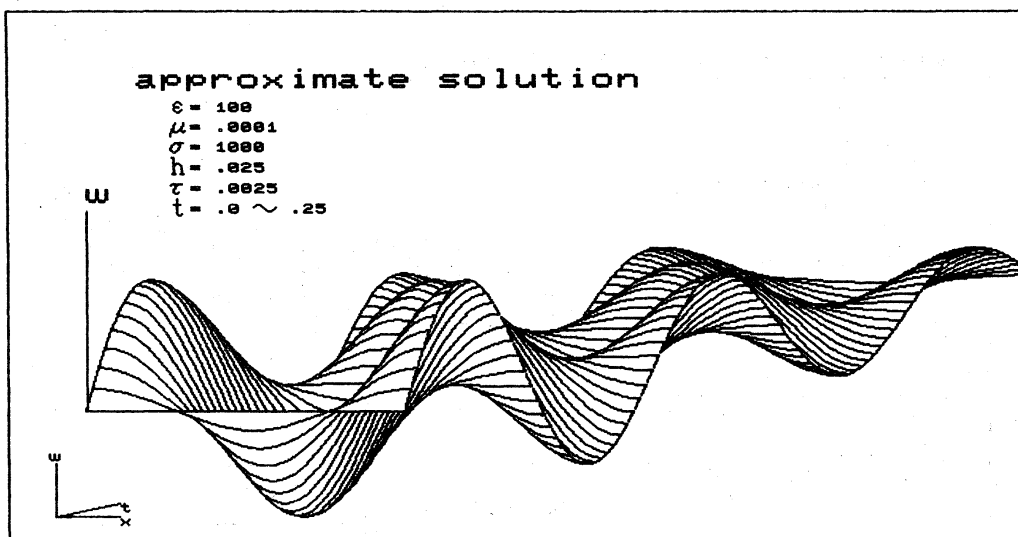
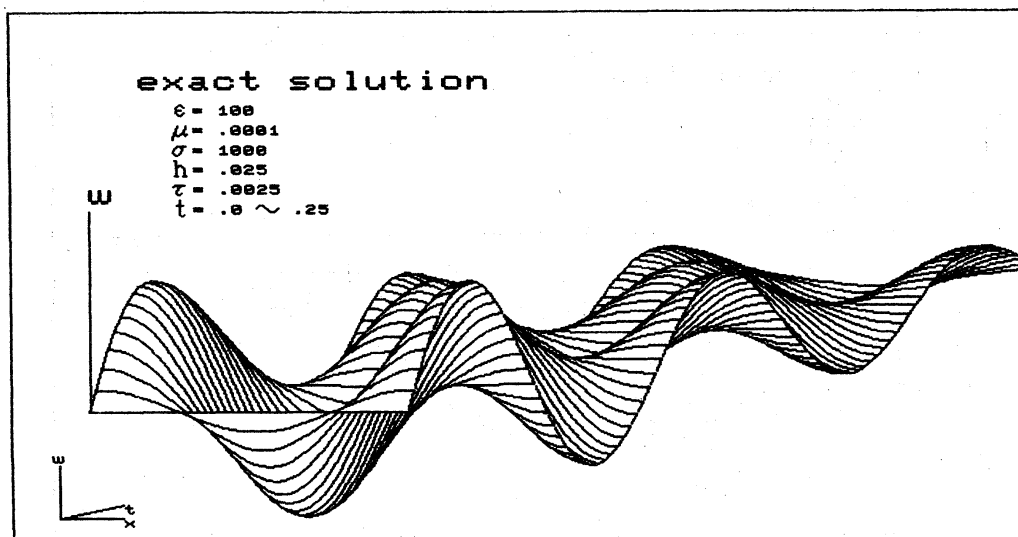


図 2. w のグラフの比較

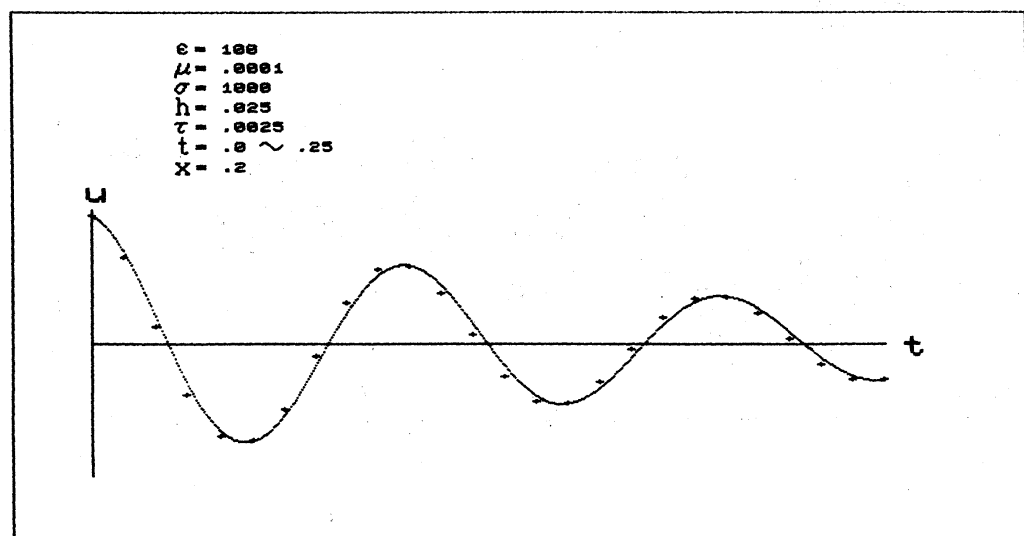
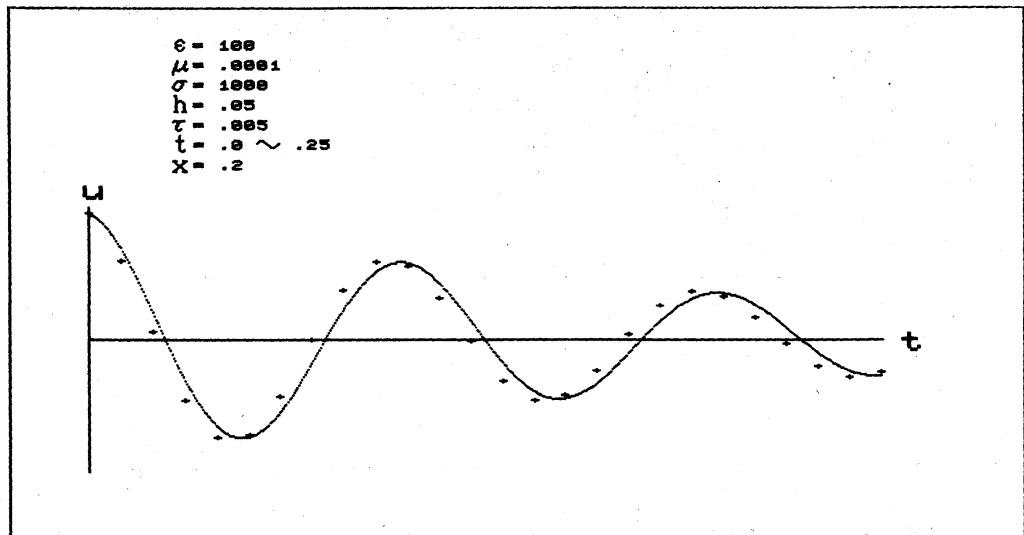
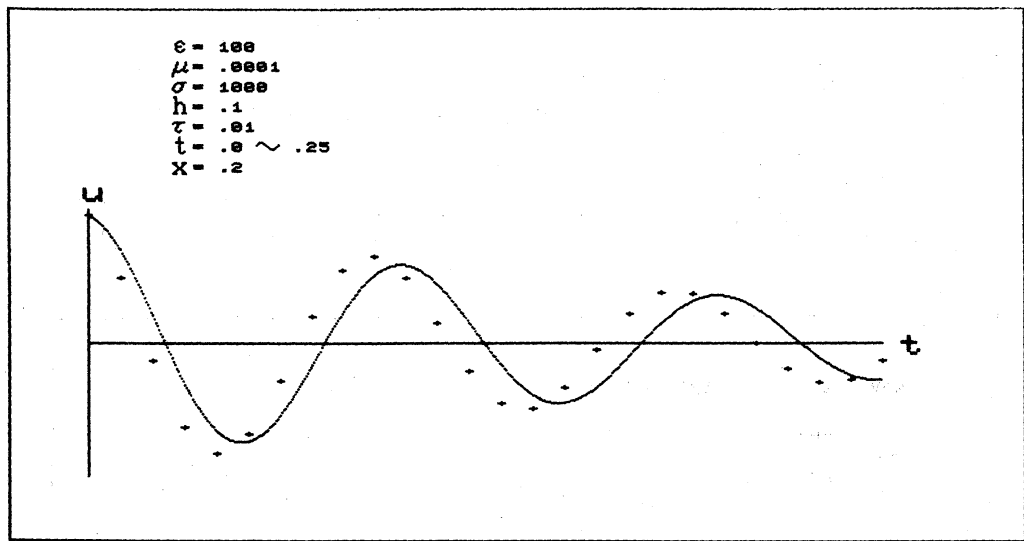


図 3. 収束のようす.

参考文献

- [1] G. Duvaut, J.L. Lions : Inequalities in mechanics and physics, Springer-Verlag, Berlin, (1976) Chapter 7.
- [2] Chevalier, J. : Une remarque sur les espace du type de Sobolev, Ann. Fac. Sc. Kinshasa, Math. Phys., Vol III (1977), pp. 293-300.
- [3] Chevalier J. : Convergence of finite element approximations for first order symmetric hyperbolic systems, Bull. Soc. Roy. Sc. Liège, 50^e année, 9-10 (1981), pp. 313-327.
- [4] Kato, T. : Perturbation theory for linear operators, Springer-Verlag, Berlin, (1966) Chapter IX.
- [5] Ushijima, T. : Approximation theory for semi-groups of linear operators and its application to approximation of wave equations, Japan J. Math., Vol. 1, No. 1, (1975), pp. 185-224.
- [6] 寺沢徳雄: 振動と波動, 岩波全書, (1984), 第5章.